Том 221

1976

К ЭЛЕКТРОМАГНИТНОМУ КОНТРОЛЮ РАСПРЕДЕЛЕНИЯ ТВЕРДОСТИ В ДЕТАЛЯХ ИЗ КОНСТРУКЦИОННЫХ МАТЕРИАЛОВ

А. В. АНФИЛОФЬЕВ

(Представлена научно-техническим семинаром кафедры информационноизмерительной техники)

По распределению твердости можно оценивать технологичность операций и прогнозировать эксплуатационные возможности деталей [1].

Многочисленные исследования отмечают хорошую корреляцию твердости с рядом электромагнитных параметров. Для большого числа однотипных деталей, когда применение твердомеров нецелесообразно или невозможно, широко используются электромагнитные методы контроля твердости. Однако при измерениях распределения твердости электромагнитными методами необходимо обеспечить локальность контроля, соизмеримую с локальностью твердомеров, и возможность производить измерения достаточно близко к контуру изделия.

В связи с этим возникает ряд методических вопросов, связанных с выбором измерительной базы датчика, его конструкции и коррели-

рующей с твердостью электромагнитной характеристики.

На поверхности деталей твердость можно контролировать методом точечного полюса по остаточной намагниченности [2], коэрцитиметрами ИФМ АН СССР по току размагничивания [3], по спектральному анализу гармонического сигнала датчика. Указанные методы реализуются в основном датчиком одно- и двухполюсного исполнения.

Датчик должен обеспечивать локальность измерений и фиксировать возникшую в процессе технологических операций макронеодно-

родность металла и ее градиент.

С другой стороны, размеры контактного пятна должны быть таковы, чтобы исходный отожженный материал можно было считать изотропным (или однородным).

Установим ориентировочные минимальные размеры контактного пятна. У конструкционных сталей размеры зерен в среднем одинаковы и варьируются в пределах 0.01-0.1 мм. Зерно, рассматриваемое в первом приближении как монокристалл, имеет максимально возможную анизотропию. В металле ориентация зерен случайна, если не применены специальные виды обработки. Естественно предположить, что площадка, на которой имеются зерна всех ориентаций, будет минимальным элементом, начиная с которого материал можно считать однородным. При дальнейшем увеличении площадки будут встречаться зерна с уже имеющейся ориентацией. Для ферромагнитных материалов, имеющих кубическую решетку, при допуске на разориентацию двух зерен в 1% (3,6°) элементарная площадка включает 5000 зерен [4], что соответствует 0.5-50 мм². Поскольку электромагнитное поле проникает

на некоторую глубину и в измерении участвуют подповерхностные

зерна, размеры могут быть уменьшены.

Приставным электромагнитом исследовано влияние края образца (рис. 1). Расстояние между полюсами электромагнита можно изменять в пределах 0—20 мм и, таким образом, моделировать одно- и

двухполюсный датчик. Электромаг нит изготовлен из пластин электротехнического железа, сечение полюсов 3×5 мм, намагничивающая обмотка $\omega_1=2\times250$ витков Максимальная индукция между полюсами 12500 гс.

На образец ($3\times5\times150$ мм) из отожженного армко-железа с неоднородностью $1 \div 2$ HV устанавливалась измерительная катушка $\omega_2 = 350$ витков. Замыкал электромагнит ферродатчик ($\omega_1 = 2\times200$, $\omega_2 = 800$). Баллистическим гальванометром измерялась остаточная индукция после намагничивания при установленном электромагните и после удаления его. При контроле одним полюсом остаточная индукция вычислялась как среднее

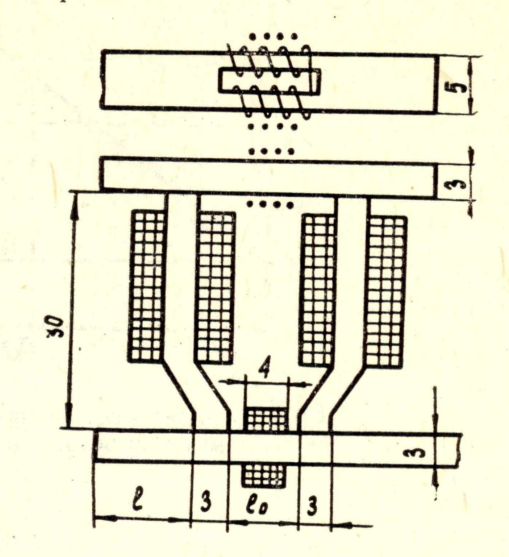


Рис. 1. Конструкция приставного электромагнита

арифметическое двух измерений сдергиванием катушки с образца, расположенной по одну и другую сторону полюса.

При установленном электромагните влияние края не было замечено. Из-за малой остаточной индукции образца разность отбросов гальванометра при намагничивании и уменьшении тока до нуля составляла 2 мм по шкале. Остаточная индукция в образце и электромагните соизмеримы, ферродатчик не фиксировал изменение поля. Как следует из [3], с уменьшением расстояния между полюсами увеличи-

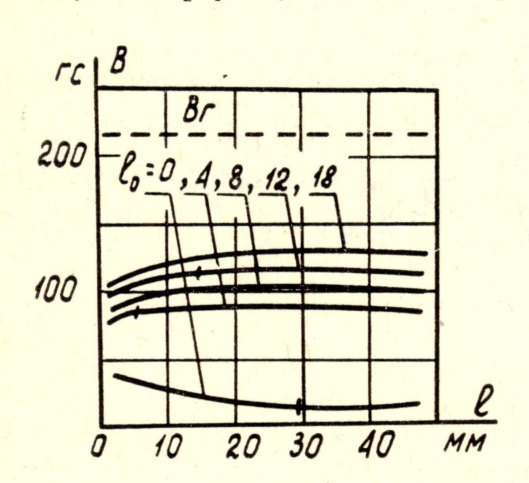


Рис. 2. Влияние края изделия на остаточную индукцию

вается поток рассеивания и влияние остаточной индукции электромагнита, что приводит к снижению чувствительности. Очевидно, конструкция датчика с подобным расположением феррозонда при измерениях на небольших площадках неэффективна.

При убранном электромагните влияние края пропорционально расстоянию между полюсами и значительно меньше, чем для одного полюса. Размагничивающий фактор при двухполюсном намагничивании также меньше (рис. 2). В переменном поле и в стационарном режиме трудно малогабаритным датчиком обеспечить необходимые поля намагничивания. Была

исследована возможность контроля твердости при увеличении поля от нуля до величины, при которой третья гармоника резко возрастает, что соответствует точке перегиба на кривой намагничивания металла. При этом датчик не успевает нагреваться.

На рис. З приведены результаты измерений для ряда сталей при работе датчика в указанном режиме.

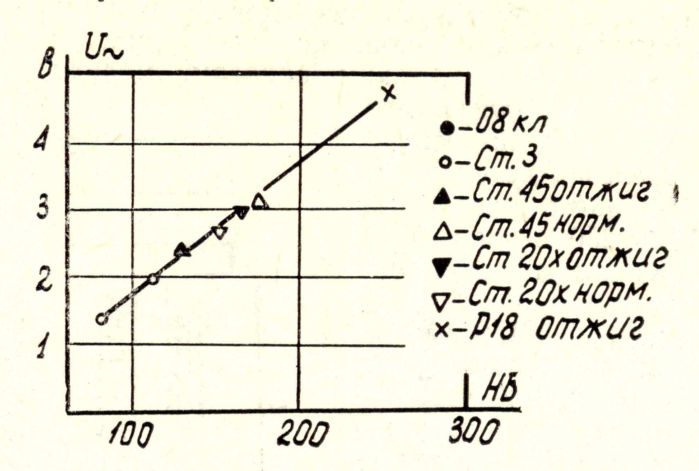


Рис. 3. Зависимость напряжения возбуждения датчика, при котором резко возрастает третья гармоника, от твердости металла

Выводы

- 1. При исследовании распределения твердости в деталях целесообразно применять двухполюсные датчики с измерительной площадкой не менее 0.5 см².
- 2. В постоянном поле контроль необходимо производить по остаточной намагниченности металла при убранном электромагните.
- 3. В переменном поле возможен контроль твердости по величине поля возбуждения датчика, при котором резко возрастает третья гармоника.

ЛИТЕРАТУРА

1. Г. Д. Дель. Определение напряжений в пластической области по распределению твердости. М., «Машиностроение», 1971.

2. Г. С. Томилов. Магнитный контроль структуры и твердости стальных деталей по измерениям локального поля остаточной намагниченности. «Дефектоскопия», 1966, № 4.

3. В. А. Захаров, М. Н. Михеев, В. П. Табачник, В. М. Францевич, Л. А. Фридман. Влияние непостоянства зазора между изделием и наконечниками электромагнита на величину размагничивающего тока феррозондового коэрцитиметра с приставным электромагнитом. «Дефектоскопия», 1970, № 4.

4. А. А. Ильюшин, В. С. Ленский. Сопротивление материалов. М., Физ-

матгиз, 1959.